

ThMn₁₂ 형 NdFe_{10.7}Ti_{1.2}Mo_{0.1}의 미세구조 및 자기적 성질 연구

안성용 · 이승화 · 김철성

국민대학교 자연과학대학 물리학과, 서울 136-702

김윤배 · 김창식

한국표준과학연구원, 대전 305-606

(1997년 4월 10일 받음, 1997년 4월 25일 최종수정본 받음)

ThMn₁₂ 구조를 갖는 NdFe_{10.7}Ti_{1.2}Mo_{0.1}의 미세구조 및 자기적 성질을 Mössbauer 분광법과 X-선 회절 분석 그리고 VSM으로 연구하였다. NdFe_{10.7}Ti_{1.2}Mo_{0.1} 합금은 알곤 가스 분위기의 아크 용해로에서 제조하였으며, X-선 회절 분석 결과 결정구조는 상온에서 tetragonal 구조를 갖고 있으며, 격자상수는 $a_0 = 8.637 \text{ \AA}$, $c_0 = 4.807 \text{ \AA}$ 으로 결정하였다. Mössbauer spectrum을 13 K에서 800 K 까지 측정하였으며, Curie 온도는 600 K로 결정하였다. Mössbauer spectrum 분석은 Curie 온도 이하의 온도에서는 Fe-site가 (8i₁, 8i₂, 8j₂, 8j₁, 8f)의 5 site로 나타났으며, 400 K 근처에서 α -Fe 상이 나타나기 시작하여 온도가 증가함에 따라서 점진적으로 증가하여 Curie 온도에서 20.7 %의 α -Fe 상이 존재함을 알았다. 각 site에서의 초미세 자기장은 온도가 증가함에 따라 감소하였으며, 그 크기는 $H_{hf}(8i) > H_{hf}(8j) > H_{hf}(8f)$ 임을 알았고 spin과 여기에 의한 $T/T_c < 0.7$ 이하에서의 평균 초미세 자기장 $H_{hf}(T)$ 의 변화는 $[H_{hf}(T) - H_{hf}(0)]/H_{hf}(0) = -0.34(T/T_c)^{3/2} - 0.14(T/T_c)^{5/2}$ 로 나타났다. 또한 원자간 결합력을 알 수 있는 Debye 온도는 $\Theta = 340 \pm 5 \text{ K}$ 로 나타났다.

I. 서 론

Nd₂Fe₁₄B 구조의 화합물과 함께 최근에 개발된 tetragonal ThMn₁₂ 구조를 갖는 Fe-rich 3원계 화합물인 R(Fe, M)₁₂ (R = Nd, Sm; M = Ti, Mo, V, Cr 등)은 새로운 영구자석의 출발재료로 주목되어 왔다. [1, 2] 특히 Y. Yang[3] 등은 NdFe₁₁Ti의 경우 상온에서 포화자화 값이 131.76 emu/g 으로 다른 희토류 합금에 비하여 가장 큰 값을 갖으며 Curie 온도는 570 K로 보고하였고 Y. Z. Wang[4]은 Curie 온도를 551 K로 발표하였다. 그러나 아크로 및 고주파를 이용하여 용해한 NdFe₁₁Ti 합금에는 상당량의 α -Fe 상이 존재하며, 따라서 ThMn₁₂ 구조 용해 시 α -Fe 상의 소거를 위해 화학 양론적 조성 NdFe₁₁Ti 보다 Ti의 함량을 높게 한 NdFe_{10.7}Ti_{1.3} 시료를 제조하여 X-ray 분석 및 Mössbauer 분광실험결과 α -Fe 상이 미량 존재하고 있음을 알 수 있었다[5].

따라서 본 연구에서는 용해 상태에서 완전한 ThMn₁₂ 단상 합금을 얻기 위하여 NdFe_{10.7}Ti_{1.3}에서 Ti 대신 일부를 Mo으로 치환한 NdFe_{10.7}Ti_{1.2}Mo_{0.1} 시료를 아크 용해 법으로 제조하여 X-ray 회절분석에 의해 결정구조를 확인하고 Mössbauer 분광법과 VSM 측정에 의해 자기적 성질을 규명하고자 한다.

II. 실험사항

NdFe_{10.7}Ti_{1.2}Mo_{0.1} 합금은 순도가 99.9, 99.8, 및 99.9 %의 Nd, Ti, Mo, Fe을 사용하여 아르곤가스 분위기에서 아크용해로 DAIA사 ACM-01을 이용하여 제조하였다[5, 6]. 아크용해시 시료의 균질성을 위해 5회 이상 용해작업을 반복하였다. 이렇게 만들어진 잉콧트 시료를 석영판 속에 넣어 진공도가 10^{-5} torr 하에서 진공 봉입한 후 1000 °C에서 1주일 동안 열처리를 하였다.

시료의 결정구조를 확인하기 위하여 CuK α 선을 사용하는 Philips사 X' Pert (PW1827) X-선 회절기를 이용하여 X-선 회절도를 측정하였으며, scanning 속도를 매분당 0.25 도로 천천히 하여 분해능을 증가시켰다.

Mössbauer 스펙트럼은 전기역학적 등가속도형 Mössbauer 분광기[7]로 측정하였으며, γ 선원은 Dupont 회사 제품의 Rh 금속에 들어있는 실온상태의 20 mCi의 ⁵⁷Co 단일 선원을 사용하였다. 시료두께의 균질성과 열전도를 위해 전체 시료 양을 40 mg으로 하여 BN₂ 분말을 시료와 함께 섞었으며 두께 0.005 인치 직경 1인치의 Be판을 양면에 막아서 사용하였다. 저온 실험을 위해서는 APD 사 CS-202 dispalex 장치와 DMX-20 Mössbauer vacuum shroud를 이용하였고 온도 측정을 위해 silicon diode를

사용하였으며 온도 오차는 ± 0.05 K였다. 고온 실험은 Austin Science 사 VF-1000 furnace를 이용하였고 저온 고온 실험 모두 10^{-6} torr 이상의 진공도를 유지하였다. VSM은 Lake shore 7300을 이용하여 77 K에서부터 800 K 사이의 온도 영역에서 외부자기장을 10 kOe 인가하여 자기모우멘트를 측정하였다.

III. 결과 및 분석

Fig. 1은 상온에서 취한 NdFe_{10.7}Ti_{1.2}Mo_{0.1}의 X-선 회절도이다. 결정구조는 tetragonal ThMn₁₂-type 구조이며 각 회절선에 Miller 지수를 붙인 후 얻은 결정상수 값을 computer에 의해 최소자승법으로 맞추어서 격자상수 a_0 , c_0 을 구하였으며 그 결과는 Table I과 같다. NdFe_{10.7}Ti_{1.3} 일 때 $2\theta = 44.5^\circ$ 근방에서 약한 α -Fe 상과 3% 미만의 약한 Fe₂Ti 상이 나타났으나 Ti대신 Mo을 치환시킨 NdFe_{10.7}Ti_{1.2}Mo_{0.1}은 α -Fe 상이 존재하지 않는 순수한 tetragonal ThMn₁₂ 단상으로 형성됨이 확인되었으며, 이 때 격자상수 a_0 , c_0 은 Table I에서처럼 증가됨을 알 수 있었다.

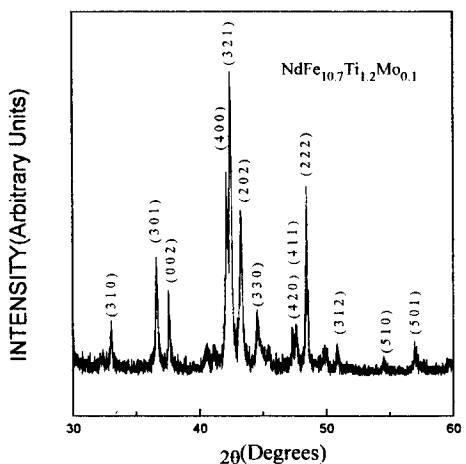


Fig. 1. X-ray diffraction patterns of NdFe_{10.7}Ti_{1.2}Mo_{0.1}. The peaks are indexed by using the tetragonal ThMn₁₂ symmetry.

Table I. Lattice parameters a_0 and c_0 , unit cell volume V_0 , Curie temperature T_c , Debye temperature Θ (K) and saturation magnetization σ_s of NdFe_{10.7}Ti_{1.2}Mo_{0.1}.

compound	a_0 (\AA)	c_0 (\AA)	V_0 (\AA^3)	T_c (K)	Θ (K)	σ_s (emu/g)
						77 K 295 K
NdFe _{10.7} Ti _{1.2} Mo _{0.1}	8.637	4.807	358.6	600	340	127.5 112.4
NdFe _{10.7} Ti _{1.3}	8.597	4.785	352.1	590	374	115.4 92.6

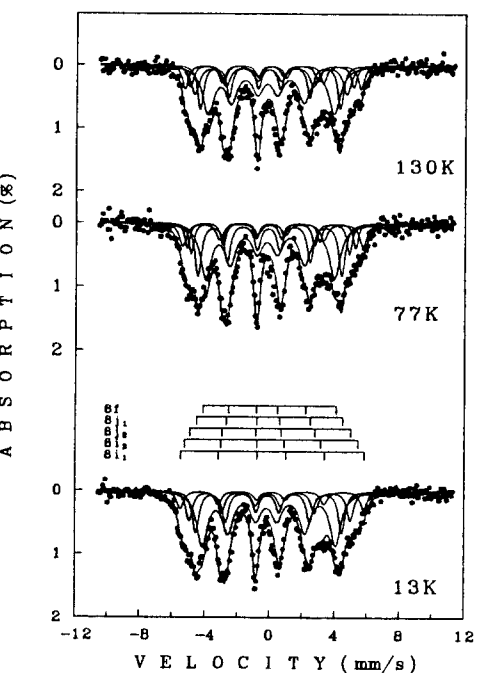


Fig. 2. Mössbauer spectra of NdFe_{10.7}Ti_{1.2}Mo_{0.1} at low temperature.

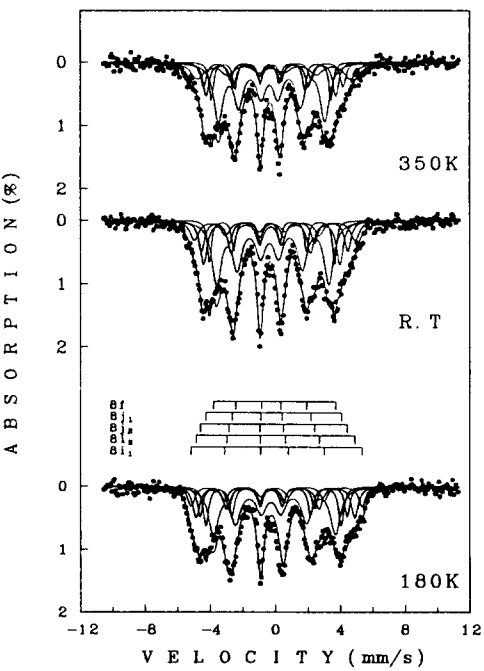


Fig. 3. Mössbauer spectra of NdFe_{10.7}Ti_{1.2}Mo_{0.1} near the room temperature.

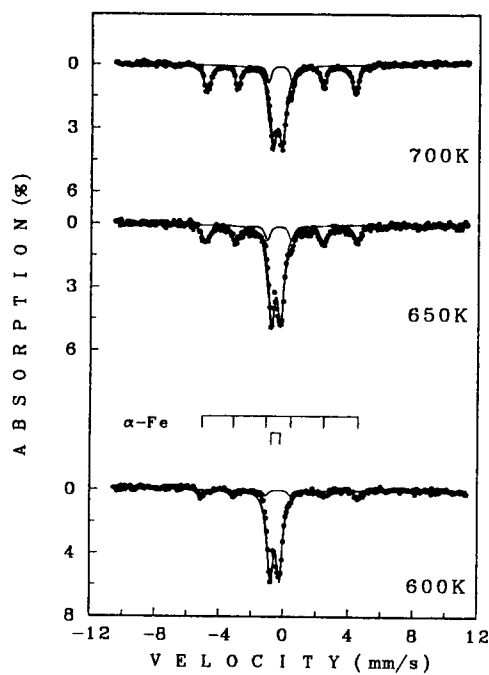


Fig. 4. Mössbauer spectra of $\text{NdFe}_{10.7}\text{Ti}_{1.2}\text{Mo}_{0.1}$ near the Curie temperature.

$\text{NdFe}_{10.7}\text{Ti}_{1.2}\text{Mo}_{0.1}$ 의 Mössbauer spectrum은 13 K부터 800 K 까지 여러 온도에서 측정되었으며 그 중 대표적인 것들이 Fig. 2, 3, 4에서 보여주고 있다.

Curie 온도 이하의 온도에서 Mössbauer spectrum은

J. M. D. Coey 모형[8]을 사용하여 Fe-site가 $(8i_1, 8i_2, 8j_2, 8j_1, 8f)$ 의 5 site의 공명흡수선으로 해석하였다. 이러한 스펙트럼을 자세히 분석하기 위하여 6 선을 Lorentzian 선형으로[9]

$$y = \frac{1}{2\pi} \sum_{i=1}^N \frac{A_i \Gamma_i}{(x - V_i)^2 + (\Gamma_i/2)^2} \quad (1)$$

을 최소자승법에 의하여 컴퓨터로 각 스펙트럼에 맞추었다. 여기서 V_i , A_i 및 Γ_i 는 i 번째 공명흡수선의 위치, 면적 및 선폭을 각각 나타낸다. N 은 공명흡수선의 수를 나타내며 전기사증극자 상호작용이 초미세 자기장에 비해 상당히 약할 때 적용되는 구속조건[9]을 사용하였다. 이와 같이 분석한 결과를 Table II에 보여주고 있다.

Fig. 5는 $\text{NdFe}_{10.7}\text{Ti}_{1.2}\text{Mo}_{0.1}$ 의 온도에 따른 5 site ($8i_1, 8i_2, 8j_2, 8j_1, 8f$)의 초미세자기장의 변화를 나타내 보이고 있다. 상온에서 $8i_1, 8i_2, 8j_2, 8j_1$ 및 $8f$ -site의 면적비는 12.3 %, 14.0 %, 21.0 %, 11.8 %, 40.9 % ($8i = 26.3\%, 8j = 32.8\%, 8f = 40.9\%$)로 나타났으며 이 결과는 $\text{NdFe}_{10}\text{Mo}_2$ 의 $8i, 8j$ 및 $8f$ 의 26 %, 34 %, 및 40 %의 면적비와 거의 일치함을 확인할 수 있었다[10].

13 K에서 초미세자기장값은 가장 큰 $8j_1$ site가 350 kOe이고 평균값은 305 kOe로 $\text{NdFe}_{10.7}\text{Ti}_{1.3}$ 의 $8j_1$ 및 평균값 347 kOe, 299 kOe 보다 증가함을 알 수 있었다. 또한 초미세자기장의 크기는 $H_{hf}(8i) > H_{hf}(8j) > H_{hf}(8f)$ 의 크기를 갖음을 관찰하였고 이는 ThMn_{12} 상인 $\text{NdFe}_{10.7}\text{TiB}_{0.3}$ 과 일치된 결과임을 알았다.[5].

Table II. Mössbauer parameters for $\text{NdFe}_{10.7}\text{Ti}_{1.2}\text{M}_{0.1}$ ($M = \text{Mo}, \text{Ti}$). H_{hf} is the magnetic hyperfine field in unit of kOe, ΔE_Q the quadrupole splitting, and δ the isomer shift relative to metallic iron at room temperature in unit of mm/s.

compound	T(K)	Mössbauer parameter	sites					Mean
			$8i_1$	$8i_2$	$8j_2$	$8j_1$	$8f$	
$\text{NdFe}_{10.7}\text{Ti}_{1.2}\text{Mo}_{0.1}$	13	H_{hf}	350	331	308	279	255	305
		ΔE_Q	0.04	0.02	0.05	0.04	0.08	
		δ	0.13	0.06	-0.03	-0.08	-0.11	-0.01
$\text{NdFe}_{10.7}\text{Ti}_{1.3}$	13	H_{hf}	347	320	303	276	252	300
		ΔE_Q	-0.02	-0.03	0.00	0.00	0.02	
		δ	0.14	-0.02	-0.07	-0.08	-0.12	-0.03
$\text{NdFe}_{10.7}\text{Ti}_{1.2}\text{Mo}_{0.1}$	RT	H_{hf}	307	279	259	238	213	259
		ΔE_Q	0.08	0.09	0.03	0.06	0.07	
		δ	-0.10	-0.11	-0.24	-0.26	-0.25	-0.19
$\text{NdFe}_{10.7}\text{Ti}_{1.3}$	RT	H_{hf}	301	272	252	231	203	252
		ΔE_Q	0.02	0.03	0.00	0.02	0.03	
		δ	-0.09	-0.15	-0.26	-0.25	-0.23	-0.20

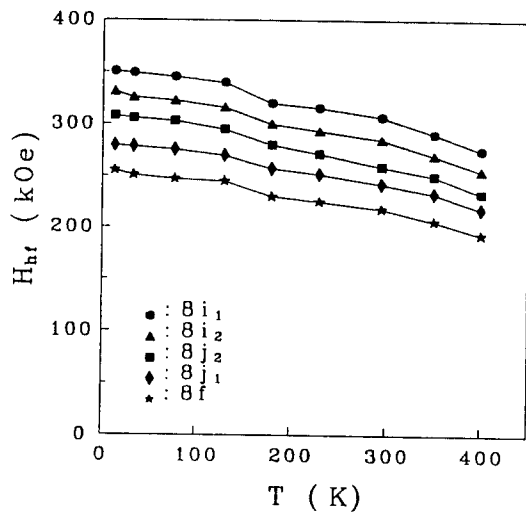


Fig. 5. Dependence of magnetic hyperfine fields, H_{hf} , on the temperature in $\text{NdFe}_{10.7}\text{Ti}_{1.2}\text{Mo}_{0.1}$.

$\text{NdFe}_{10.7}\text{Ti}_{1.2}\text{Mo}_{0.1}$ 의 Mössbauer 실험 결과 Curie 온도는 600 K로 $\text{NdFe}_{10.7}\text{Ti}_{1.3}$ 보다 10 K 높음을 알았다. 또한 400 K 이상의 온도에서부터 α -Fe 상이 나타나기 시작하여 Curie 온도에서 α -Fe 상의 면적비는 20.7 %였으며 이 온도 이상에서는 α -Fe 상인 6선의 공명 흡수선과 ThMn₁₂ 상인 2선의 공명 흡수선이 함께 나타났으며 700 K에서는 α -Fe 상이 44.7 %로 온도가 증가함에 따라서 점진적으로 증가하였다. Fig. 6은 $\text{NdFe}_{10.7}\text{Ti}_{1.2}\text{Mo}_{0.1}$ 의 초미세 자기장값의 평균값을 온도에 따른 변화로 Curie 온도 T_c 에 대한 환산된 온도 T/T_c 에서의 절대 영도에서의 초미세자기장 $H_{hf}(0)$ 에 대한 환산된 초미세자기장 $H_{hf}(T)/H_{hf}(0)$ 의 변화값을 나타내고 있다. 원으로 표시된 점들이 Mössbauer 실험 값이며 이에 대해 실선으로 표시된 값은 spin 값이 $S = 9/2$ Brillouin 이론 곡선으로써 오차 범위내에서 명확하게 잘 따르고 있다. 그러므로 $\text{NdFe}_{10.7}\text{Ti}_{1.2}\text{Mo}_{0.1}$ 내의 Fe³⁺ 이온들은 $S = 9/2$ 의 high spin 상태임을 알 수 있었다.

Fig. 7은 $\text{NdFe}_{10.7}\text{Ti}_{1.2}\text{Mo}_{0.1}$ 에 외부자기장을 10 kOe로 가했을 때 온도에 따른 자기모우멘트값의 변화를 나타낸다. 원으로 표시된 점들은 Mössbauer 실험에 의한 각 Fe-site들의 초미세자기장의 평균치를 자기모우멘트값에 규격화시킨 값이며 Curie 온도 $T_c = 600$ K로 나타났다.

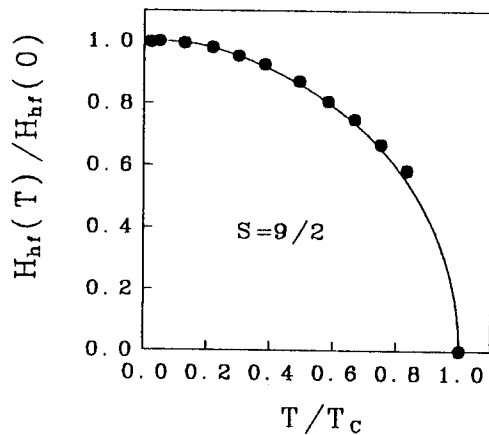


Fig. 6. Reduced magnetic hyperfine field $H_{hf}(T)/H_{hf}(0)$ against reduced temperature T/T_c for $\text{NdFe}_{10.7}\text{Ti}_{1.2}\text{Mo}_{0.1}$.

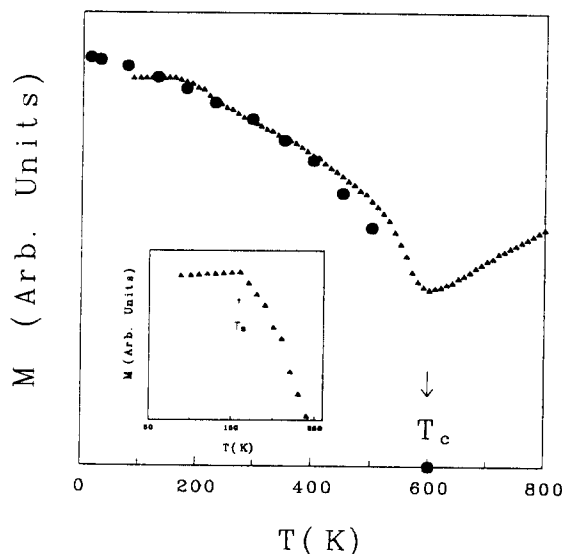


Fig. 7. Temperature dependence of the magnetic moment under an applied field of 10 kOe for $\text{NdFe}_{10.7}\text{Ti}_{1.2}\text{Mo}_{0.1}$. Solid circles are average normalized magnetic hyperfine fields taken from Mössbauer spectra.

상온에서 $\text{NdFe}_{10.7}\text{Ti}_{1.2}\text{Mo}_{0.1}$ 의 자기모우멘트는 Table I과 같다. Table I과 같이 Ti이 Mo으로 치환됨에 따라서 자기모우멘트값이 증가함을 알 수 있었으며 이는 Mössbauer 실험 결과 초미세자기장이 증가하는 결과와 잘 일치한다. VSM 실험 결과 자기 moment 값이

증가한 후 다시 감소하기 시작하는 160 K 근방에서 spin reorientation 현상이 관측되었으며 Mössbauer 실험 결과 Fig. 5의 초미세자기장값에서 Fe의 5 site 모두 130~180 K 온도영역에서 급격한 변화를 나타내며 180 K에서 130 K와 비교하여 8i₁ site 경우 $\Delta H_{hf} = 20.0$ kOe의 감소를 보이고 있다. NdFe_{10.7}Ti_{1.3}은 spin reorientation 발생온도 $T_s = 180$ K로 Ti 대신 Mo으로 치환됨에 따라 감소되었다. 이 결과는 K. Guslienko 등은[11] NdFe₁₁Ti에서 spin reorientation 발생온도 $T_s = 189$ K로, NdFe_{12-x}Mo_x계에서 x=1은 $T_s = 168$ K, x=2는 147 K, x=3은 130 K로 Mo 원자가 증가함에 따라 T_s 온도가 감소함을 보고한 결과와 잘 일치하며 이는 일축결정자기 이방성의 감소때문으로 이해할 수 있겠다. Spin reorientation 현상 [8][12]은 결정구조가 tetragonal 구조이며 3종류의 Fe-site(8i, 8j, 8f)로 인해 결정이방성이 크고 c 축이 자화용이축이기에 초미세자기장과 이성질체 이동값에서의 급격한 변화는 전기장기울기텐서(EFG) 주축과 이루는 자화 방향이 c 축으로부터 일정한 각만큼 이동했기 때문으로 설명할 수 있겠다.

Fig. 8은 NdFe_{10.7}Ti_{1.2}Mo_{0.1}에 대한 평균 초미세자기장의 온도에 따른 변화를 절대영도에 대로 나타내고 있다. 초미세자기장은 온도 증가와 더불어 감소하는데 그 식은 다음과 같다. [13]

$$\frac{H_{hf}(T) - H_{hf}(0)}{H_{hf}(0)} = -B_{3/2} \left(\frac{T}{T_c}\right)^{3/2} - C_{5/2} \left(\frac{T}{T_c}\right)^{5/2} \quad (2)$$

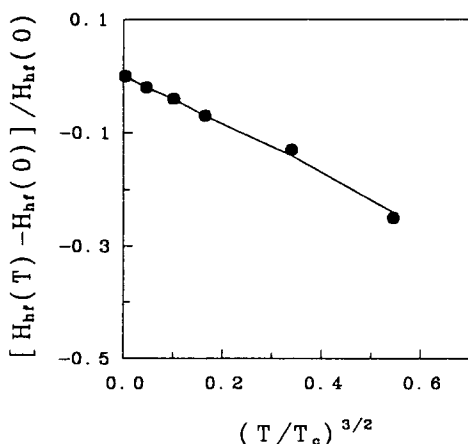


Fig. 8. Fractional change of the average magnetic hyperfine field H_{hf} as a function of $(T/T_c)^{3/2}$.

여기서 T_c 는 Curie 온도이며 $H_{hf}(T)$ 는 온도 T 에서의 초미세 자기장이고, $H_{hf}(0)$ 는 절대영도에서의 초미세 자기장 값이다. 초미세자기장 실험값에 (2)식을 최소자승법으로 계산한 결과 NdFe_{10.7}Ti_{1.2}Mo_{0.1}의 경우 $B_{3/2} = 0.35 \pm 0.05$ 이었으며 이 값은 α -Fe($B_{3/2} = 0.11$) 및 Ni($B_{3/2} = 0.12$)에 비하여 훨씬 크다[14]. 이는 결정의 α -Fe나 Ni 보다 비정질과 비슷한 성질을 갖는 결과로 장파장의 spin-wave가 잘 여기됨을 말할 수 있겠다.

NdFe_{10.7}Ti_{1.2}Mo_{0.1}의 Debye 온도를 결정하기 위해 되튕 없는 화률(recoil free fraction) f 에 Debye 모델을 도입하면 다음과 같이 된다. [15]

$$f = \exp \left[-\frac{3E_R}{2k_B\Theta} \left(1 + \frac{4T^2}{\Theta^2} \int_0^{\Theta/T} \frac{x dx}{e^x - 1} \right) \right] \quad (3)$$

여기서 E_R 은 14.4 keV γ -선에 대한 ⁵⁷Fe의 되튕에너지이고 Θ 는 Debye 온도이며, k_B 는 Boltzmann 상수를 나타낸다. 온도 T 에서 Mössbauer spectrum의 전체 공명흡수 면적 F 는 f 에 비례함으로 $\ln f = \ln F + const.$ 의 형태로 쓸 수 있다. NdFe_{10.7}Ti_{1.2}Mo_{0.1}의 Debye 온도는 Mössbauer spectrum 공명흡수면적의 $\ln F$ 와 온도 T^2 과의 함수관계를 Fig. 9에 나타냈으며 이로부터 얻은 NdFe_{10.7}Ti_{1.2}Mo_{0.1} 및 NdFe_{10.7}Ti_{1.3} 각각의 Debye 온도는 340 ± 5 K, 374 ± 5 K로, Mo으로 치환시킴에 따라 Debye 온도가 감소하는 특징이 나타났다.

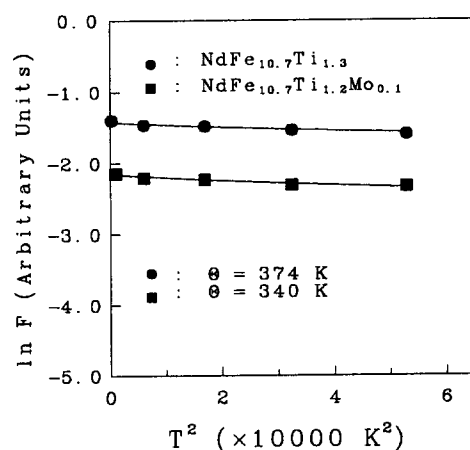


Fig. 9. Natural logarithm of the absorption area, F , vs T^2 for the spectra of NdFe_{10.7}Ti_{1.2}Mo_{0.1} ($M = \text{Mo}, \text{Ti}$)

i) 현상은 원자의 질량 m , 원자간 거리를 R_0 라고 할

때 고체의 녹는 온도 $T_S \propto m \cdot \Theta \cdot R^2$ 에 비례하므로 Debye 온도는 물체의 굳기를 나타낸다고 할 수 있기에 NdFe_{10.7}Ti_{1.2} 화합물에서 Ti 대신 Mo으로 치환시킴에 따라 원자간 결합력이 감소함을 알 수 있었다.

감사의 글

이 논문은 1994년도 한국학술진흥재단의 대학부설연구소 연구과제 연구비 및 한국과학재단·연구비(961-0210-065-2) 지원에 의한 것이며 이에 감사드립니다.

참고문헌

- [1] B. D. Mooij and K. H. J. Buschow, Philips J. Res. **42**, 246(1987).
- [2] K. Ohashi, Y. Tawara, R. Osugi, and M. Shimao, J. Appl. Phys., **64**, 5714(1988).
- [3] Y. C. Yang, X. D. Zhang, S. Ge, Q. Pan, L. S. Kong, B. S. Zhang, Y. Ding and C. T. Ye, J. Appl. Phys., **70**, 6001(1991).
- [4] Y. Z. Wang and G. C. Hadjipanayis, J. Appl. Phys. **70**, 6009(1991).
- [5] S. W. Lee, Y. J. Lee, S. Y. An, C. S. Kim, Y. B. Kim, C. S. Kim, J. Korean Mag. Soc. **6**, 361(1996)
- [6] C. S. Kim, Y. J. Lee, S. W. Lee, Y. B. Kim and C. S. Kim, J. Appl. Phys. **79**, 5516(1996)
- [7] C. S. Kim, S. W. Lee, S. I. Park, J. Y. Park, Y. J. Oh J. Appl. Phys. **79**, 5428(1996).
- [8] Q. Qi, B. P. Hu and J. M. D. Coey, J. Appl. Phys. **75**, 6235(1994).
- [9] C. S. Kim, H. M. Ko, M. Y. Ha and J. Y. Park, IEEE Trans. on Mag. **27**, 5456(1991).
- [10] Y. Z. Wang, G. C. Hadjipanayis, Z. X. Tang, W. B. Yelon, V. Papaefthymiou, A. Moukarika, and D. J. Sellmyer, J. Mag. Mag. Mat. **119**, 41(1993).
- [11] K. Yu. Guslienko, E. H. C. P. Sinnecker, and R. Gr ssinger, J. Appl. Phys. **80**, 1659(1996) ; K. Yu. Guslienko, X. C. Kou and R. Gr ssinger, J. Mag. Mag. Mat. **150**, 383(1995).
- [12] Z. W. Li, X. Z. Zhou and A. H. Morrish, Phys. Rev. B, **41**, 8617(1990).
- [13] C. L. Chien and R. Hasegawa, Phys. Rev. B, **16**, 2115(1977).
- [14] B. E. Argyle, S. H. Charap and E. W. Pugh, Phys. Rev. **132**, 2051(1963)
- [15] H. N. Ok, K. S. Baek, E. C. Kim and C. S. Kim, Phys. Rev. B, **48**, 3212(1993).

Magnetic Properties of ThMn₁₂-type NdFe_{10.7}Ti_{1.2}Mo_{0.1}

Sung Yong An, Seung Wha Lee and Chul Sung Kim

Department of Physics, Kookmin University, Seoul 136-702

Y. B. Kim and C. S. Kim

Korea Research Institute of Standards and Science, Taejon 305-606

(Received 10 April 1997, in final form 25 April 1997)

We have studied crystallographic and magnetic properties of NdFe_{10.7}Ti_{1.2}Mo_{0.1} by Mössbauer spectroscopy, X-ray diffraction and vibrating sample magnetometer(VSM). The alloys were prepared by arc-melting under an argon atmosphere. The NdFe_{10.7}Ti_{1.2}Mo_{0.1} has pure a single phase, whereas NdFe_{10.7}Ti_{1.3} contains some α -Fe, conformed with X-ray diffractometry and Mössbauer measurements. The NdFe_{10.7}Ti_{1.2}Mo_{0.1} has a ThMn₁₂-type tetragonal structure with $a_0 = 8.637 \text{ \AA}$ and $c_0 = 4.807 \text{ \AA}$. The Curie temperature (T_c) is 600 K from the result of Mössbauer measurement performed at various temperatures ranging from 13 to 800 K. Each spectrum of below T_c is fitted with five subspectra of Fe sites in the structure (8i₁, 8i₂, 8j₂, 8j₁, 8f). The area fractions of the subspectra at room temperature are 12.3 %, 14.0 %, 21.0 %, 11.8 %, 40.9 %, respectively. Magnetic hyperfine fields for the Fe sites decrease in the order, $H_{hf}(8i) > H_{hf}(8j) > H_{hf}(8f)$. The abrupt changes in the magnetic hyperfine field, an magnetic moment observed at about 160 K in NdFe_{10.7}Ti_{1.2}Mo_{0.1} are attributed to spin reorientations. The average hyperfine field of the NdFe_{10.7}Ti_{1.2}Mo_{0.1} shows a temperature dependence of

$$[H_{hf}(T) - H_{hf}(0)] / H_{hf}(0) = -0.34(T/T_c)^{3/2} - 0.14(T/T_c)^{5/2} \text{ for } T/T_c < 0.7,$$

indicative of spin wave excitation. The Debye temperatures of NdFe_{10.7}Ti_{1.2}Mo_{0.1} is found to be $\Theta = 340 \pm 5 \text{ K}$.